

Fig. 3. Change of chemical composition of slag or iron bearing material.

ッショ上段において  $\text{CaO}/\text{SiO}_2$ ,  $\text{Al}_2\text{O}_3/\text{SiO}_2$  が出銑時鉱滓に比較して著しく小である。羽口水準では出銑時の成分に近い。 $\text{CaO}$  の滓化は比較的遅いと考えられる。

#### 3.2.3 アルカリ成分, Zn, Pb

東田第4高炉のアルカリ成分, Zn, Pbの状況をFig.3にあわせ示した。シャフト中段からボッシュにかけてK, Naの蒸着が著しい。アルカリに比較してZn, Pbの含有は少ないが、これは鉄物鉱を吹製している関係上炉への装入量が少ないと推定される。

### 4. 結 言

(1) シャフト中段においてすでに鉱石表面の一部が溶解し造滓作用が始まっている。ボッシュ上段では銑滓分離が相当に進行している。

(2) C, Si, Mnはボッシュ上部から羽口水準にかけて著しく吸収されている。Siの還元速度は高温のためにかなり速いと推定される。

(3)  $\text{CaO}$  の滓化はボッシュ上部より炉床部にかけて行なわれる。滓化は比較的遅い。

(4) シャフト部、ボッシュ部でK, Naの蒸着が相当に認められる。アルカリ装入量より考えてアルカリは高炉内でガス化と蒸着を繰り返しているものと考えられる。

### 文 献

- 1) B. N. STARSHINOV: Stal in English, (1960) 8, p. 542

## (48) 高炉炉内コークス性状の変化

八幡製鉄、技術研究所

工博 城 博・○西 徹・仲摩博至  
The Change of Characteristics of Coke in  
the Blast Furnace

Dr. Hiroshi JOH, Tetu NISHI  
and Hiroyuki NAKAMA

### 1. 緒 言

コークスが高炉炉内を下降する間の、コークス自体の物理化学的性状変化に関しては、すでに報告<sup>1)</sup>し次の点を明らかにしている。

(1) 高炉の操業速度が大になると炉内コークスの性状変化は大になる。

(2) 重油、COG吹込みの高炉操業でも、炉内コー

クスの性状変化は大きくなる。

すなわち、かかる際には高炉内におけるコークスのいたみがはなはだしいので従来より良質のコークスを使用する必要が認められた。以上の試験は試験高炉操業時における炉内各所のコークスについての試験により、実際高炉については、装入コークスと羽口コークスについてのコークス性状の変化からの結論である。その後、実際高炉において、その休風時を利用して高炉内コークスを採取する機会を得て、実際、高炉におけるコークスの性状変化についてある程度系統的な研究を行なうことができた。この間の経過を報告する。

### 2. 実験経過

東田第6高炉(採取月日、昭和40年1月)、洞岡第2高炉(採取月日、昭和40年1月)、洞岡第3高炉(採取月日、昭和40年7月)の各位置からコークスを採取することができた。結果については後述するが、3高炉とも大体よく類似した傾向がみうけられたので、ここでは洞岡第3高炉を例にとり内容を論述する。

#### 2.1 試料採取

試料採取位置をFig.1に示す。

#### 2.2 試 料

試料は装入前コークスと高炉の各位置からのコークスの合計16種で、粒度分布、工業分析、T.S., ミクロストレンジング、反応性、真比重、見かけ比重、気孔率、電気抵抗、熱伝導率、着火点、潰裂強度の12項目について実施した。

### 3. 結 果

Fig.2に測定結果を、Fig.3にコークス灰の主な組成変化の結果を示す。

#### 3.1 粒 度

コークスの粒度は炉頂から下降するにつれてこまかくなつていくことはすでに確められているが、今回の試験ではコークスのサンプリングが十分できず、この点に関しては調べられなかつた。しかし、この傾向はまず變るまい。

#### 3.2 灰 分

コークス中の灰分は高炉内を下降するにつれて増加する傾向をたどり、炉胸下部付近で最も高くなるが、さらに下降してくるとコークスの灰分は低下の傾向を示し、羽口付近においては炉頂部に比べ、若干高い程度まで減少する。この傾向は今回の実験で始めて確認し得た事実である。

#### 3.3 撃 発 分

コークスの撃発分は炉頂部から炉胸中段部までは減少するが、炉胸下部では撃発分が増加し、それ以下に下降すると撃発分は再び低下している。この撃発分の動向も今回の実験によつて、始めて明らかになつた。

#### 3.4 硫 黄

コークス中の硫黄は炉頂から下降するにつれて低下している。この脱硫作用は主に溶解スラグとの反応によるものと推定される。

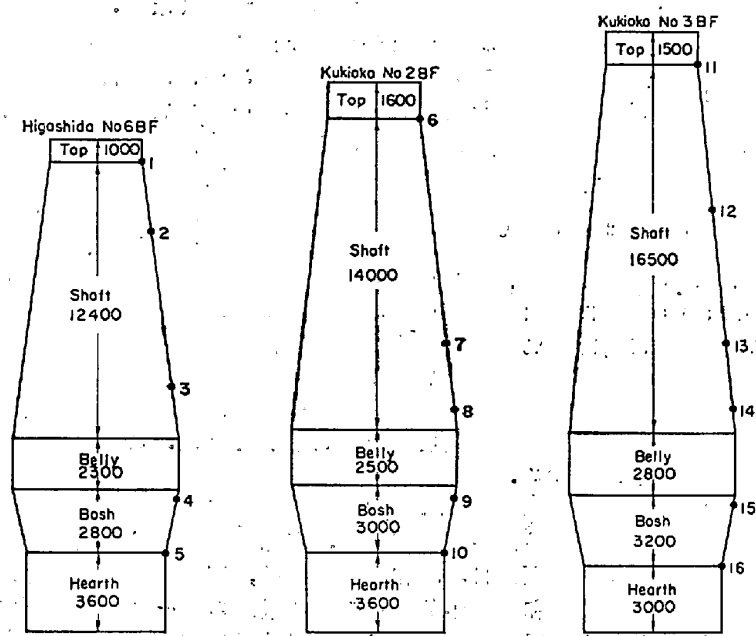


Fig. 1. BF profile and sampling place.

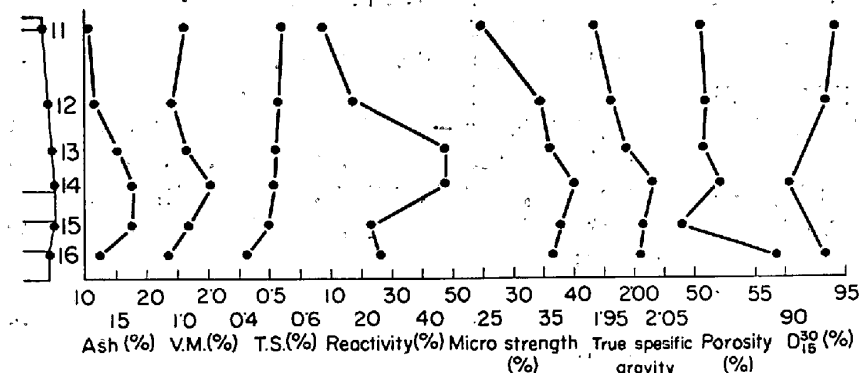


Fig. 2. Change of coke characteristics at Kukioka No 3 BF.

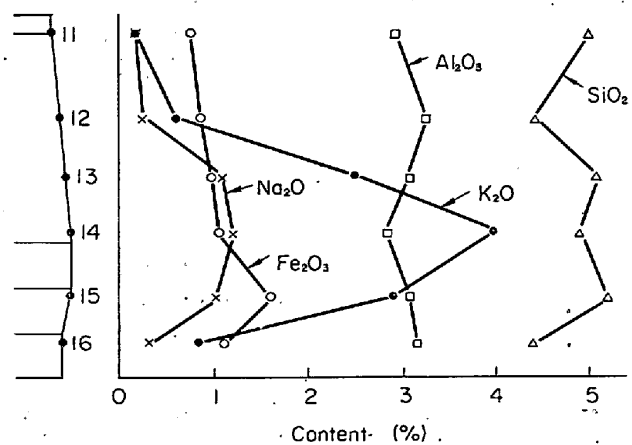


Fig. 3. Change of ash composition (Kukioka No 3 BF).

### 3.5 ドラム強度

コークスが炉頂より下降するにつれて低下の傾向にあり、炉胸下部で最も低い値を示し、さらに下降すると強度は逆に高くなっている。この傾向はサンプリングの問

題もあるので明白には断定できない。

### 3.6 ミクロストレンジス

コークスが炉頂から下降するにつれて高くなり、炉胸下部で最も高くなり、さらに下降するにつれて若干ではあるが、低くなる傾向がみられた。

### 3.7 反応性

コークスが炉頂より下降するにつれて高くなり、炉胸下部付近で最も高く、さらに下降すると逆に若干低くなる。

### 3.8 真比重

コークスが炉頂より下降するにつれて高くなり、炉胸下部付近で最も高く、さらに下降すると逆に若干低くなる。

### 3.9 電気抵抗

コークスが炉頂より下降するにつれて熱処理によって、コークスの黒鉛化度が進み、電気抵抗は低くなるべきであるが、コークス表面付着物の作用により、一様な傾向は示していない。

### 4: 考察

コークス性状の諸結果をみると、コークスは既述の通り、炉頂から羽口に下降するにつれ、それ相当の性状変化過程をたどっている。これまでの研究と比べてコークス性状変化の特異な点を集約すると、次のとおりである。

(1) 炉胸下部付近において灰分および揮発分が増加する。

(2) 反応性が炉胸下段において特に大きい。

これらの点は、今回の研究で始めて認められた特異な現象と判断されるので、この点について若干の考察を試みてみる。

これらの特異な現象とコークス灰分組成変化との間になんらかの関係が存在するのではないかと思ひ、この点を前述の Fig. 3 のコークス灰分の組成変化からその関係をながめてみた。この結果によると、炉胸下段付近において  $Na_2O$ ,  $K_2O$  のアルカリ性成分が特に増加し、その上下においては減少する傾向が認められる。すなわち、アルカリ性成分の循環現象が認められる。前述に見るごとく、この場所ではコークスの灰分、揮発分も増加している。

以上の事実からすると、炉胸下段付近におけるコークス灰分および揮発分の増加はアルカリの循環現象に基づいて、炉胸下段付近にアルカリ性成分が集積することによるのではないかと推定される。なお、炉胸下段付近においてコークスの反応性が特に大きくなっているのも、このアルカリの循環現象に基づく、アルカリの集積と関係あると推察される。

### 5. 結言

高炉内におけるコークスの性状変化を調べるために、実際の高炉を対象にしてコークスの採取を行ない、従来の研究から見て特異な現象として、次の点が認められた。(1) 灰分および反応性は炉内を下降する間に、一般

的には増加する傾向にあるが、炉胸下段付近において、一時急激に増大し最高値に達する徴候がある。

(2) 撃発分も炉内を下降するに当たつて漸減すると見られるが、これも灰分の場合と同様に炉胸下段付近で、一時増大し最高の値を示した。

(3) このコーカス性状の特異の現象について考察し、この現象は炉胸下段付近においてみうけられたアルカリ性成分の循環現象と密接な関係があると推定された。

### 文 献

- 1) 城、井田: コーカス技術年報、(燃協編), 9, (1959), p. 107; 46 (1960), p. 1155
- 2) 城、井田: 鉄と鋼, 51 (1965) 4, p. 694

## (49) コーカス消費速度の高炉操業管理への適用

八幡製鉄、技術研究所

工博 呉玉 惟孝・堀尾竹弘・○彼島秀雄  
Application of Coke Consuming Velocity to Blast Furnace Operation Control

Dr. Koretaka KODAMA, Takehiro HORIO and Hideo KANOSHIMA

### 1. 緒 言

高炉操業管理にあたつて、吹製銑種に応じた炉熱バランスを維持することは、円滑な炉況を保つために必要である。このためには炉熱に大きな影響を有し、変動量の大きい炭素ソルーション反応量を検出することが必要であるが、炭素バランスの面からみて送風量、送風中加湿蒸気量、コーカス中固定炭素など人為的に設定しうる操業変数あるいは事前に把握しうる諸因子を管理し、同時に刻々変化するコーカスの消費速度を検出することができれば、ソルーションロス量を知ることができ、炉熱をコントロールできると考えられるので、理論式を誘導して実際操業との関連性を調べた。

### 2. コーカス消費速度とソルーションロス反応量との理論的関係

炭素バランス、酸素バランスから検討するが、実操業との対応を調べる場合、時間あたりで各種バランスを取る方が軽便があるので、本報では 1 min あたりで検討する。

#### 2.1 炭素バランス

$$R_C \cdot C_f + F \cdot C_f = A V_b \\ = A V_b - R_C L_R I_L 12/44 + [C] \cdot R_p \quad (1)$$

ガス化炭素バランス

$$A V_b = 1.071(0.21 + O_e) V_b + D_1 V_b \\ + R_C L_R I_L 12/44 + C' V_b \quad (2)$$

$R_C$ : コーカス消費速度, kg/min

$C_f$ : コーカス中固定炭素

$F$ : 重油吹き込み量, kg/Nm<sup>3</sup>-air

$\textcircled{C}$ : 重油中炭素含有量

$A = (0.79/N_2) \cdot (CO + CO_2) 12/22.4$ : 送風 1 Nm<sup>3</sup>あたりに相当する炉頂ガス中の全炭素, kg/Nm<sup>3</sup>

$V_b$ : 送風量, Nm<sup>3</sup>/min

$L_R$ : 石灰石装入量, t/t-coke

$I_L$ : 石灰石イグニションロス, %/100

[C]: 銑鉄中炭素濃度

$R_p = 10^3 O' V_b / [O]$ : 銑鉄生成速度, kg/min

$O'$ : 1 Nm<sup>3</sup>-air 当たりの被還元酸素量, kg/Nm<sup>3</sup>

[O]: 銑鉄 t 当たり還元すべき酸素量, kg/t

$O_e$ : 酸素富化濃度, %/100

$D_1 = M(12/18) \cdot (1/1000)$ : 1 Nm<sup>3</sup>-air あたりの加湿蒸気から入る酸素により還元される炭素量, kg/Nm<sup>3</sup>

M: 加湿蒸気量, g/Nm<sup>3</sup>

C': 1 Nm<sup>3</sup>-air あたりの直接還元炭素量, kg/Nm<sup>3</sup>

(1) 式より

$$R_C = [A + O' [C] / [O] - F \cdot C_f \cdot V_b / [C_f + L_R I_L (12/44)] \quad (3)$$

#### 2.2 酸素バランス

$$O' V_b = O'_D V_b + O'_I V_b + O'_H V_b \quad (4)$$

$O'_D V_b$ : 直接還元によって還元される酸素量, kg/min

$O'_I V_b = (16/12) \eta_{CO} [C' + 1.071(0.21 + O_e) + D_1] V_b$ : CO にて間接還元される酸素量, kg/min

$O'_H V_b = \eta_{H_2} \{D_2 + (16/2) F \cdot \textcircled{H}\}$ : 水素によって還元される酸素量, kg/min

水素による還元は明確に把握できないのが普通である。ここでは羽口より入る水素のみが還元にあずかると考え、その還元利用率を  $\eta_{H_2}$  とする。

$D_2 = M(16/18) \cdot (1/1000)$ ,  $\textcircled{H}$ : 重油中  $H_2$  濃度

$\eta_{CO}$ : CO の還元利用率

したがつて (4) 式から  $O'$  は  $\eta_{CO}$ ,  $\eta_{H_2}$  をパラメータとして  $C'$  と次の関係を有する。

$$O' = (4/3)(1 + \eta_{CO})C' + \eta_{CO}[1.429(0.21 + O_e) + D_2] + \eta_{H_2}(D_2 + 8F \cdot \textcircled{H}) \quad (5)$$

(3) 式に (2) 式および (5) 式を代入して整理するとコーカスの消費速度とソルーションロス反応量との関係が求められる。

$$C' = [(R_C \cdot C_f / V_b) + F \cdot C_f - 1.071(0.21 + O_e) - D_1 - ([C] / [O]) \{\eta_{CO}(1.429(0.21 + O_e) + D_2) + \eta_{H_2}(D_2 + 8F \cdot \textcircled{H})\}] / (1 + (4/3)(1 + \eta_{CO})([C] / [O])) \quad (6)$$

#### 2.3 热 レ ベ ル

当所の研究結果によると<sup>1)</sup> 吹製銑種が一定している場合きわめて高い寄与率で次式が成立することが認められている。

$$q_2 M + q_3 C' + q_5 F = m C_p T + k \quad (7)$$

$q_2$ :  $H_2O + C \rightarrow H_2 + CO$  反応熱, kcal/g  $H_2O$

$q_3$ :  $C + CO_2 \rightarrow 2CO$  反応熱, kcal/kg C

$q_5$ : 重油分解熱, kcal/kg-Oil

$C_p$ : 热風の平均比熱, kcal/Nm<sup>3</sup>·°C

T: 热風温度, °C

m, k: 常数

左辺は吸熱反応(出熱項), 右辺は入熱項であるが, (7) 式が高度の相関関係で成立することから, 高炉の熱的条件は大きな操業条件の変化がない限り, 送風湿度, 送風温度, ソルーション反応量の三つで代表されること